ДИЗЧИЧИХ UUM ЯБЯПРИЗПРИБЬГР ИЧИЛЬПРИЗБ БЬЦЬЧИЯРГ ИЗВЕСТИЯ АКАДЕМИИ НАУК АРМЯНСКОЙ ССР

Ֆիզիկа-Лирь Лив. фильтераций ХІ. № 3, 1958 Физико-математические науки

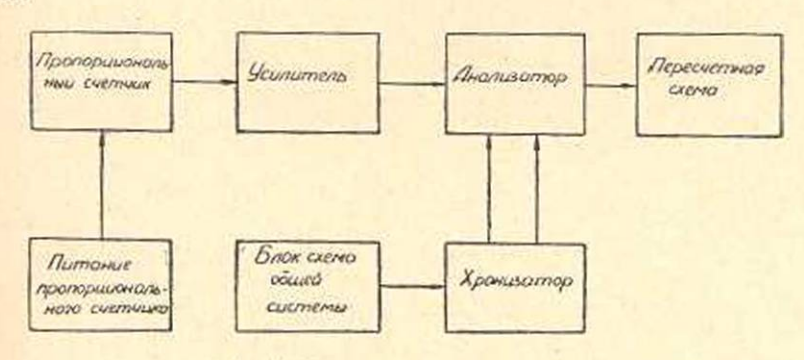
НАУЧНАЯ ЗАМЕТКА

Багдасарян Л. С., Харитонов В. М. и Марикян Г. А.

Многоканальный амплитудный анализатор импульсов с логарифмической характеристикой

Блок-схема всей системы приведена на фиг. 1.

Импульсы отпропорционального счетчика усиливаются в линейном усилителе и поступают на вход амплитудного анализатора. В этот же момент импульсом тройного совпадения запускается хронизатор, который дает отрицательный импульс "1" с длительностью 30 мксек, и синусоидальное колебание (метки времени). Начало синусоидальных колебаний совпадает с концом импульса "1". Оба сигнала поступают в амплитудный анализатор импульсов. Число синусоид на выходе анализатора определяет величину измеряемого импульса в логарифмической шкале. Эти импульсы подсчитываются с помощью 3-х декадной пересчетной схемы, интерполяционные лампочки которой фотографируются вместе с неоновыми лампочками годоскопической системы телескопа.

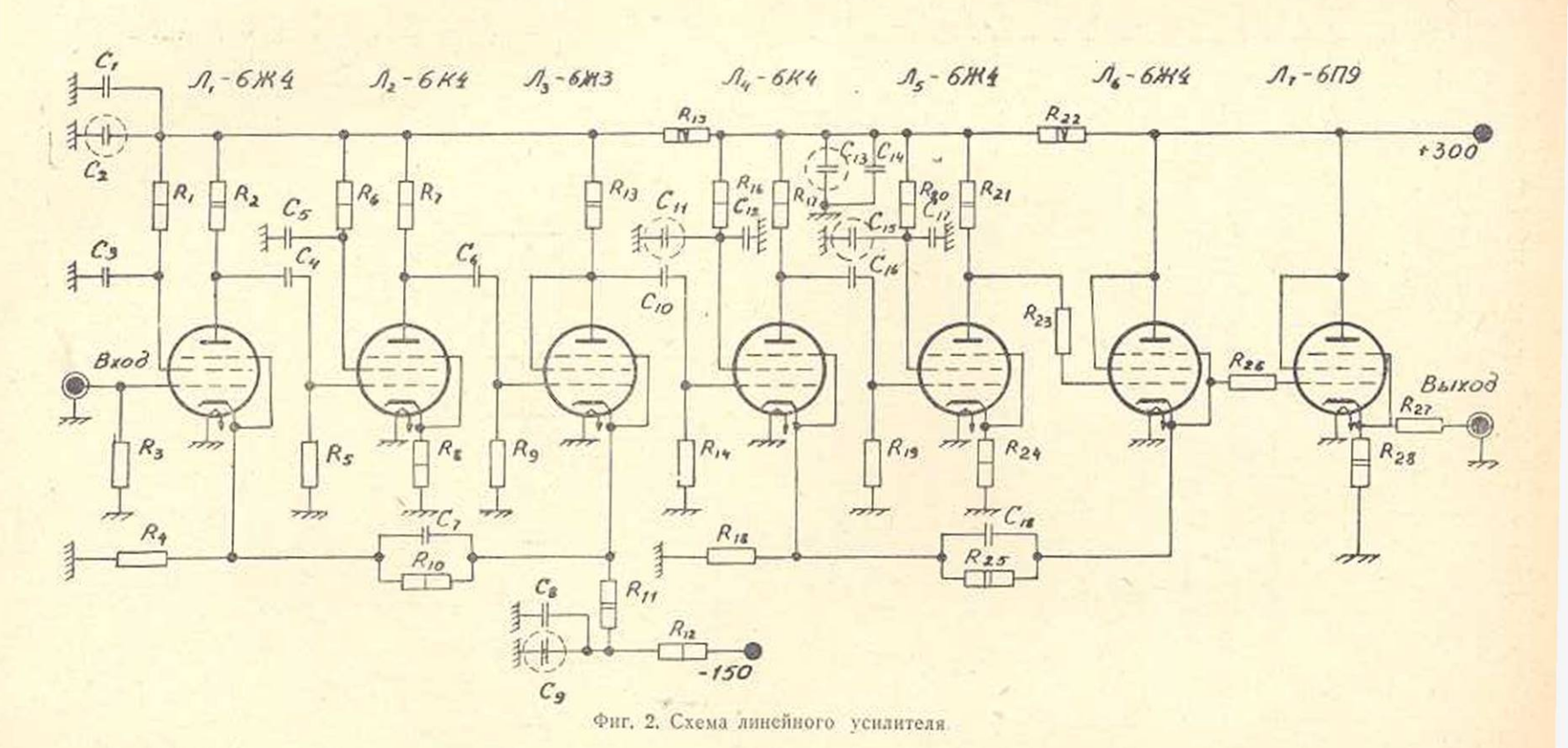


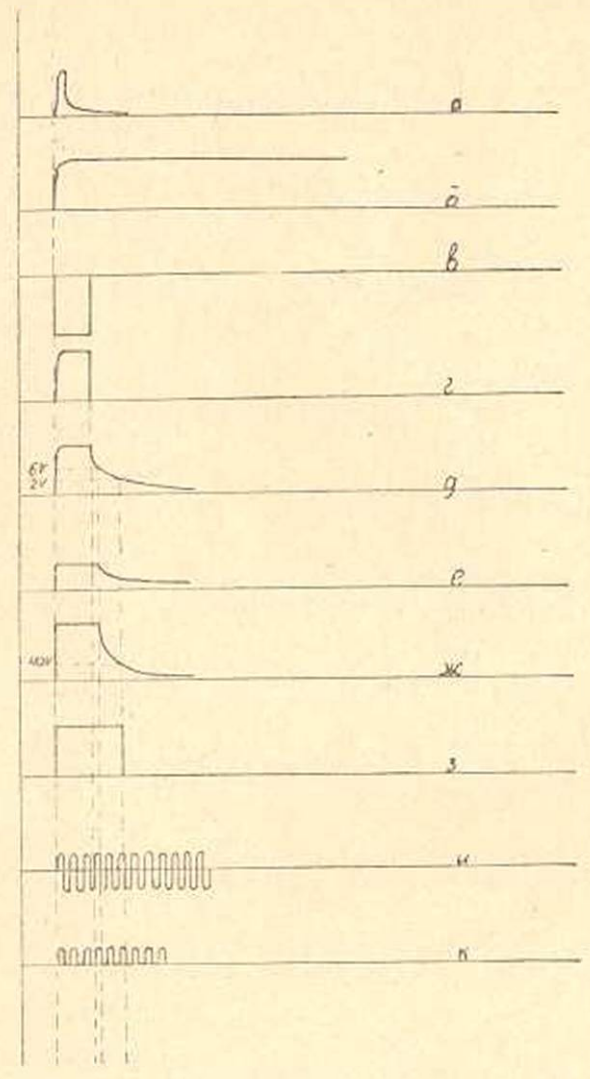
Фиг. 1. Блок-схема всей системы

Пропорциональный счетчик

Пятислойный пропорциональный счетчик имеет прямоугольную форму. Размеры рабочего объема каждого слоя $27 \times 100 \times 300$ мм. Счетчик наполнен пропаном с давлением 480 мм ртутного столба. Все выводы счетчика осуществляются с помощью переходных спаев медь-стекло с охранными кольцами, которые помещены с торцевой стороны счетчика. Наполнение и откачка счетчика также осуществляются с помощью переходных спаев.

Счетчик работает с коэффициентом газового усиления \sim 200 при напряжении \approx 4000 вольт.





Фиг. 5. Формы импульсов в схеме анализатора

- измеряемый импульс поступающий от линейного усилителя.
- б) Измеряемый импульс после затягивания.
- в) Селектирующий импульс от хронизатора (ширина 30 мксек).
- Измеряемый импулье после обредания через 30 мксек от начала,
- д) Импульс на выходе "генератора экспонанты".
- е) Импульс после обрезания на уровне 6 вольт.
- ж) Импульс на выходе усилителя.
- з) Импульс на выходе дискриминатора.
- в) Синусондальные колебания (метки времени) поступающие от хронизатора.
- к) Метки времени на выходе анализатора,

Линейный усилитель

Для измерения величины импульса на выходе пропорцианального счетчика его предварительно усиливали в линейном усилителе, коэффициент усиления которого K=8000 (фиг. 2).

Для уменьшения фона переменного тока накалы ламп усилителей питались постоянным током, который выпрямлялся с помощью селенового выпрямителя и фильтровался. Для уменьшения фона от внешних источников усилители помещались в заземленный экран. Внутренние шумы сводились к минимуму благодаря правильному расчету и монтажу усилителей. Для уменьшения шумов от механических толчков усилители закреплялись к стойкам с помощью резиновых прокладок.

Уровень шумов на выходе усилителей составляет 0,09 — 0,12 вольта.

Хронизатор

Схемы внализаторов управляются с помощью хронизатора (фиг. 3). Запускающим импульсом для хронизатора служит импульс тройного совпадания в телескопе системы, служившем для определения радиуса кривизны траектории частицы в магнитном поле.

Мультивибратор на лампе Л₂ (фиг. 3), дает отрицательный импульс "1" шириной 30 мксек. Этот импульс через вход 2 поступает в анализатор и является для него селектирующим импульсом.

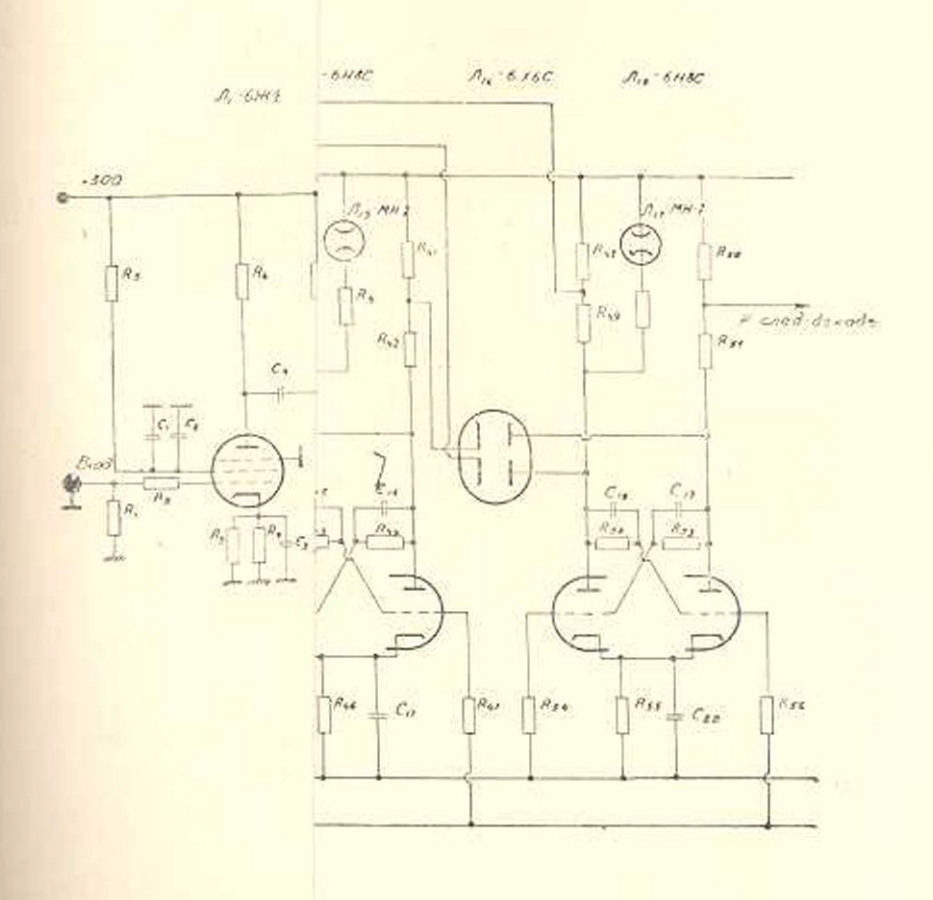
Генератор ударного возбуждения (J_6, J_6, J_7) запускается задним фронтом импульса "1". При этом генератор дает синусоидальные колебания— "метки времени". Генератор работает с частотой $\sim 100~\kappa z \mu$. Максимальная частота генератора определяется разрешающим временем пересчетной схемы.

Изменение частоты колебательного контура генератора из-за изменения температуры окружающей среды \pm 5°C составляет \pm 0,02°/ $_{\rm 0}$. Применение отдельного накального трансформатора для лампы $\Pi_{\rm 0}$ уменьшает влияние на частоту колебаний емкости между катодом дампы и накалом.

Амплитудный анализатор импульсов

Измеряемый импульс положительного знака через вход 1 поступает в анализатор (фиг. 4).

С помощью ламп $Л_1 \div J_4$ импульс формируется так, что полученный прямоугольный импульс имеет амплитуду, равную амплитуде измеряемого импульса, и пирину в 30 мксек. Для этого импульс затягивается с помощью конденсатора C_4 и диода J_2 , а затем обрезается через 30 мксек, после начала (кривая "г", фиг. 5). С помощью лампы J_6 , конденсатора C_{11} и сопротивления R_{15} затягивается задний фронт импульса. При этом он получает форму экспоненты с $\tau = 1,1$ млсек. Величина τ выбирается так, чтобы максимальному сигналу соответствовало ~ 400 колебаний меток времени.



В дальнейшем все импульсы на уровне 6-вольт обрезаются и усиливаются для уменьшения влияния нестабильности порога срабатывания дискриминатора (J_{15} и J_{16}).

Ширина прямоугольных импульсов на выходе дискриминатора (схемы Шмидта), строго пропорциональна логарифму амплитуды измеряемого импульса.

В дальнейшем осуществляется измерение ширины этого импульса. Работа ламп Π_{21} и Π_{22} ничем не отличается от работы ламп Π_{3} и Π_{4} .

На выходе амплитудного анализатора выделяются положительные половинки синусоид, число которых и определяет величину измеряемого импульса.

По данным авторов [1] нестабильность порога срабатывания дискриминатора составляет \pm 0,1—0,2 вольт. Такая нестабильность дает изменение ширины выходного импульса на \pm 0,3 \div 0,6 мксек, что и наблюдалось нашей схемой.

Пересчетная схема

На лампах $\mathcal{N}_1 \div \mathcal{N}_4$ (фиг. 6) имульсы формируются и поступают на пересчетную часть схемы.

Первые два каскада пересчетной схемы имеют пропускную способность 200 кгц., а остальные 50 кгц [1].

Во время эксплуатации выяснилось, что первые каскады пересчетной схемы работают без пропусков при частоте 100 кги, поэтому частота работы генератора в хронизаторе ограничивается 100 кги. Если первые два каскада первой декады пересчетной схемы, построены на лампах 6Н8С, а последующие два на лампах 6Н9С, то при поступлении каждого десятого импульса декада работает не правильно. Для устранения этой неполадки пришлось между четвертым и вторым каскадами добавить катодный повторитель. Положительный результат можно получить, собрав все четыре каскада на лампах 6Н8С.

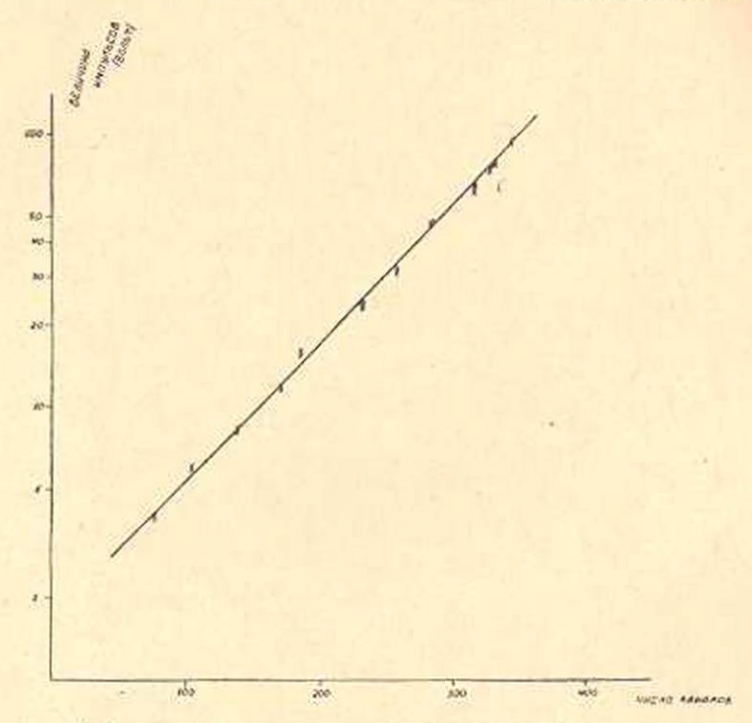
Гашение пересчетной схемы осуществляется импульсом от блока управления общей системы, который отключает все первые сетки пересчетных ламп от земли. При этом схема приходит в исходное состояние.

Калибровка и контроль

Калибровка схемы производилась с помощью генератора импульсов. Величина импульса, подаваемая на вход анализатора, определялась опорным напряжением, величина которого контролировалась с точностью лучше чем 0,2% и строились кривые N=f(u) где N—число импульсов сосчитанное пересчетной схемой (см. фиг. 7).

Постоянный контроль над всей системой осуществлялся путем регистрации жестких частиц (с пробегом ≥ 17 см рb), так как за короткий срок работы установки их можно набрать в достаточном количестве.

На фиг. 8 приведены гастограмма и кривая распределения значений нонизации, для 30,000 жестких частиц. Для построения этих



Фиг. 7. Калибровочная кривая, Крестиками показаны экспериментальные точки, снятые во время одной из калибровок,

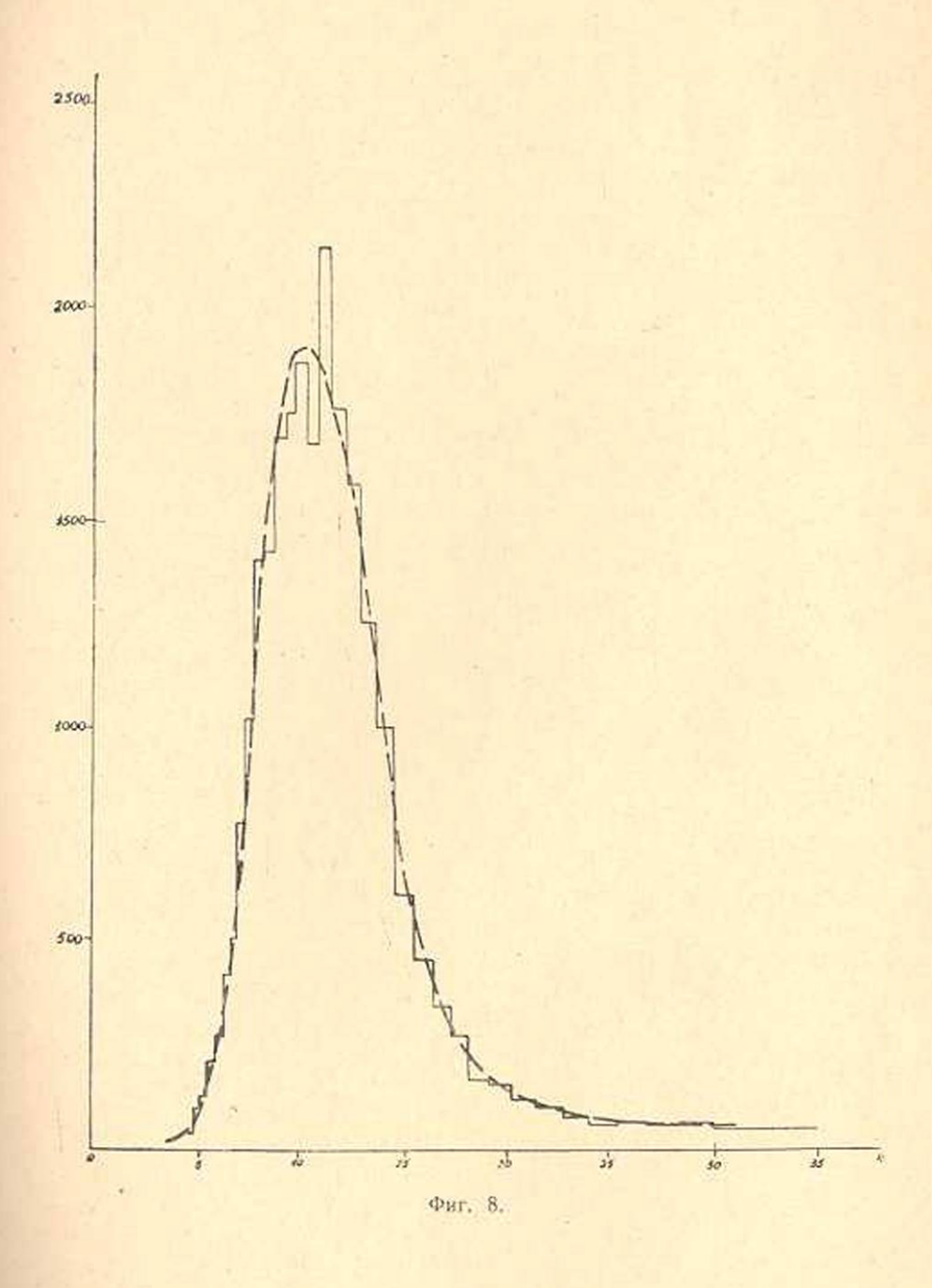
кривых выбирились жесткие частицы с минимальной ионизующей способностью отношение р/ μ , для которых лежит в интервале $\sim 3 \div 5$. Ширина этой кривой на половине высоты $= \pm 32,5^{\circ}/_{\circ}$.

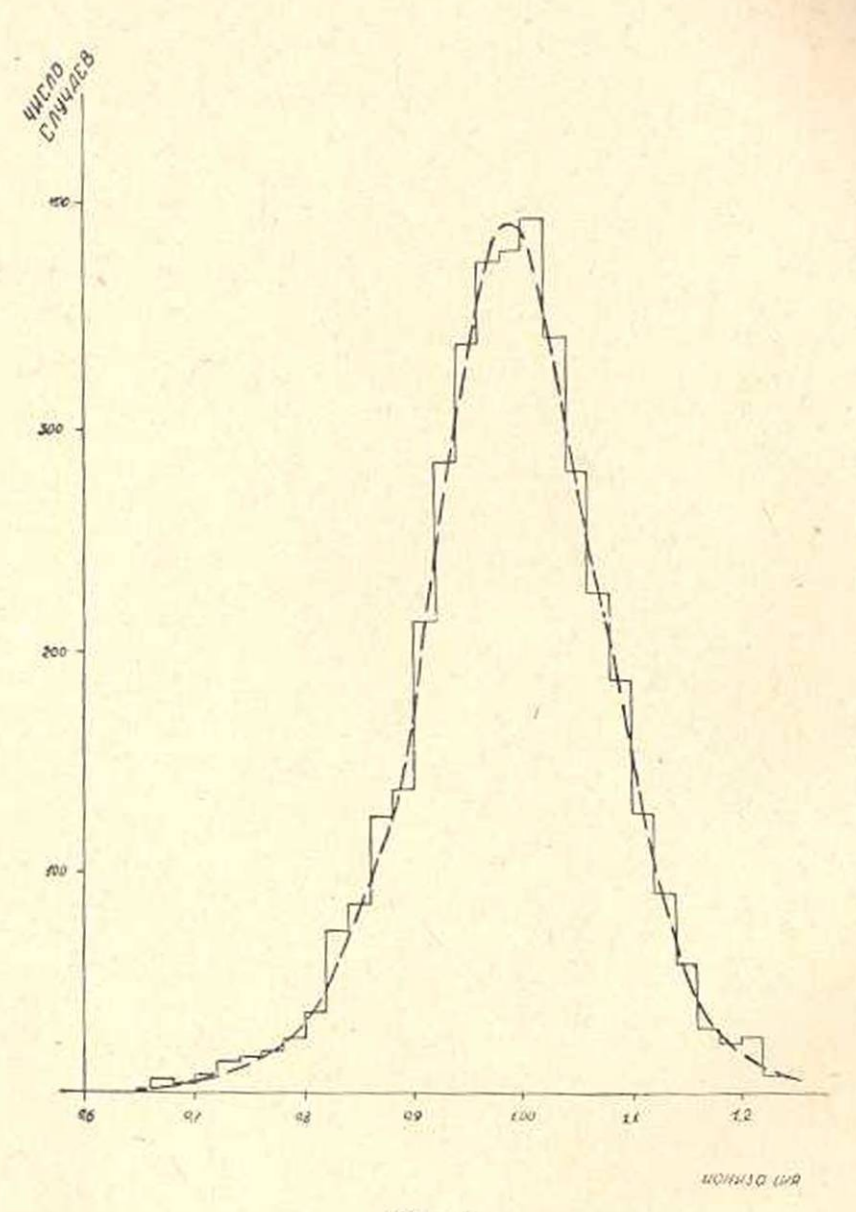
Для этих же частиц, методом максимума правдоподобия, подсчитывались наивероятные значения из пяти значений пятислойного пропорционального счетчика. Полученная кривая распределения приведена на фиг. 9. Ширина на половине высоты $=\pm 16,5\%$.

Подробное описание методов обработки и полученные результаты будут опубликованы в ближашее время.

Схема с пятислойным пропорциональным счетчиком работает непрерывно, начиная с конца 1955 г.

Физический институт Академии наук Армянской ССР Поступила 4 И 1958





Фиг. 9.

L. Ս. Բաղդառարյան, վ. Մ. Խարիտոնով և Գ. Ա. Մարիկյան

ԻՄՊՈՒԼՍՆԵՐԻ ԲԱԶՄԱԿԱՆԱԼ ԱՄՊԼԻՏՈՒԴԱՅԻՆ ԱՆԱԼԻԶՍՏՈՐ ԼՈԳԱՐԻՍՄԱԿԱՆ ԲՆՈՒՔԱԳՐՈՎ

UUTONONPU

Իմպալսների ամպլիտուդային անալիզատորը նախատետքած է կոսմիկական Հասագայթների լից,բավորված մասնիկների իսնիզացիոն հատկությունները որոշելու համար։

Անալիզատորում օգտագործված է իմպուլսի ամպլիտուդան հրկարաքվան վերածելու սկղբունքը։ Այս ձևավախումը կատարվում է լողարիքմական կանոնով, որի շնորհիվ չափումնհրը թոլոր կանալներում կատարվում են միևնույն ծարարհրական ճշտությամը։

Ծնործիվ նրա, որ չափումները կատարվում են հինդ շերտանոց հարաթերական հաշվիչի միջոցով, բաշխման կորի լայնությունը կոշտ մասնիկների համար միջին բարձրության վրա ստացվում է ±16,5% այն դեպքում, երը մեկ շերտանոց համեմատական հաշվիչի համար կորի լայնությունն ստացվում է ±32,5%,

Որպես կոչու ժամնիկներ ընտրված են այնպիսի ժամնիկները, որոնք անցնում են 17 ամ հաստավելուն ունեցող կապարի շերտի ժիջով և որոնց համար թ/ր հարարերությունն ընկած է 3—5 սահմաններում։

Հոգորածում բերդած են ամբողջ սիստեմի սադիոտեխնիկական սխեման և նրա նկարադրությունը։

Բերված են նաև սիստեմի աշիստանքը լուսարանող մի քանի կորհը։ Նկարադրված սիստեմը, կցված Ալիխանով-Ալիխանյանի մայնիսական մաստողնկարոմեարի նետ, անընդմեջ աշխատում է սկսած 1955 խվականից։

ЛИТЕРАТУРА

У Эльмор В. и Синде М., Электроника в ядерной физике*, М., 1951.